

# سنگنگاری و شیمی کانی قطعات آمفیبولیتی در اسکارن‌های جنوب افیولیت نایین، ایران مرکزی

نرگس شیردشتزاده<sup>۱</sup>، فرشت توابی<sup>۲</sup> و رامین صمدی<sup>۳</sup>

<sup>۱</sup>پژوهشگر پادکتر، گروه زمین‌شناسی، دانشکده علوم، دانشگاه اصفهان، اصفهان، ایران

<sup>۲</sup>استاد، گروه زمین‌شناسی، دانشکده علوم، دانشگاه اصفهان، اصفهان، ایران

<sup>۳</sup>استادیار، گروه زمین‌شناسی، واحد مشهد، دانشگاه آزاد اسلامی، مشهد، ایران

تاریخ دریافت: ۱۳۹۴/۰۷/۱۹ تاریخ پذیرش: ۱۳۹۵/۰۴/۱۴

## چکیده

در بخش‌های جنوبی افیولیت نایین قطعات آمفیبولیت به رنگ سبز تیره درون اسکارن‌ها دیده شد. این سنگ‌ها در نمونه دستی ظاهری شبیه به ارتوآمفیبولیت‌های (سنگ‌های بازیک دگرگون) این افیولیت دارند، ولی از دید کانی‌شناسی کانی‌های آمفیبول (مورنلند میزیم‌دار)، کلینوپیروکسن (دیوبیسید)، گارنت (گروسو لار - آندرادیت با  $\text{And}_{63-87}\text{Grs}_{12-35}$ )، کوارتز و کمی کلیست و ولاستونیت دارند. کلریت و پرهیت تیر کانی‌های ثانویه آنها مستند و پیشتر شکستگی‌ها را پر کردند. مطالعات صحرابی، سنگنگاری و شیمی کانی‌ها نشان‌دهنده برخی تفاوت‌های کانی‌شناسی میان قطعات آمفیبولیت‌های درون اسکارن‌ها و ارتوآمفیبولیت‌های این افیولیت مستند. بدگونه‌ای که شاید بتوان این قطعات آمفیبولیت را ایستولیت‌هایی با خاستگاه روسی (مارن‌های آمکی کفت دریا) دانست که در بین دگرگونی ناحیه‌ای در حد رخساره آمفیبولیت - گرانولیت در شرایط فوگاسیته کم اکسیژن به آمفیبولیت (پارآمفیبولیت) تبدیل شده‌اند.

کلیدواژه‌ها: کانی‌شناسی، آمفیبولیت، اسکارن، افیولیت، نایین.

\*نویسنده مسئول: نرگس شیردشتزاده

E-mail: nshirdasht@yahoo.com

## ۱- پیش‌فouش

در این مطالعه عناصر اصلی کانی‌ها توسط دستگاه ریزپردازش مدل JEOL JXA8800R و با ولتاژ شتاب دهنده ۱۵ کیلوولت و چریان ۱۵ نانو آمپر، در دانشگاه کاتاراوای ژاپن تجزیه شدند. با استفاده از ترکیب کانی‌های طبیعی و مصنوعی، روی نتایج به دست آمده تصحیح استاندارد عدد اتمی اعمال شد. فرمول ساخته‌کنی کانی‌ها با توجه به نتایج تجزیه‌های ریزپردازشی و برایه تعداد اکسیژن‌های موجود در فرمول ایده‌آل این کانی‌ها با استفاده از نرم‌افزارهای تخصصی موجود به دست آمد. فرمول شیمیایی کانی‌های کلینوپیروکسن، ولاستونیت، گارنت و آمفیبول به ترتیب بر پایه  $6_9\text{Fe}^{3+} + 12\text{CaO} + 23\text{Al}_2\text{Si}_5\text{O}_{18}$  و  $13\text{CNK}$  با استفاده از روش (Leake et al., 1997) انجام گرفت و مقدار  $\text{Fe}^{3+}$  در گارنت نیز بر پایه استرکمتری به روش (Droop, 1987) و تعداد کاتیون‌های برابر با ۸ به دست آمد. نام اختصاری به کار برده شده برای نام کانی‌ها برگرفته از Whitney and Evans (2010) است.

## ۲- زمین‌شناسی عمومی و مطالعات صحرابی

افیولیت نایین به صورت یک آمیزه افیولیتی شامل سنگ‌های روسی، آذرین و دگرگونی، در لبه باختری بلوك یزد و در امتداد گسل نایین دهشیر جای گرفته است (شکل ۱). مهم‌ترین سنگ‌های سازنده آنها آهکنهای پلاژیک، گذازمهای بالشی، دایکنهای دیابازی، پلاژیوگرانیت، گابرو، پیروکسیت و پریدویت‌های هارزبورگیتی (و نیز لرزولیتی و دوینیتی) گوشته، آمفیبولیت‌ها و متاپریدویت‌ها هستند (شیردشتزاده، ۱۳۹۳؛ Shirdashtzadeh et al., 2014). بررسی‌های ژئوشیمیایی روی سنگ‌های آذرین و دگرگونی افیولیت نایین (مانند شیردشتزاده، ۱۳۹۳؛ Ghasemi and Talbot, 2006) شیردشتزاده و همکاران، ۲۰۰۶؛ Shirdashtzadeh et al., 2010, 2011 and 2014؛ Torabi et al., 2011؛ Shirdashtzadeh et al., 2010, 2011 and 2014؛ Shafai Moghadam et al., 2013؛ Torabi et al., 2011؛ Ghazi et al., 2010 and 2012؛ Rezaei et al., 2012؛ عسیدی‌مسیمه، ۱۳۸۶؛ فلاحی، ۱۳۷۶؛ Shirdashtzadeh et al., 2010, 2011 and 2014؛ Shafai Moghadam et al., 2013؛ Lensch and Davoudzadeh, 1982) این افیولیت شامل سنگ‌های ماگمایی و آشناشی و رسوبات وابسته به آنها، دایک دیابازی، گابرو و پریدویت، به همراه سنگ‌های دگرگونی (شامل سربانیت، آمفیبریت، اسکارن، متاپریدویت نواری و اسپیلت)، لیستنیت و رودینگیت است.

بر پایه پیشنهاد مجمع Penrose در سال ۱۹۷۲، برخی واحد‌های دگرگونی با خاستگاه‌های متفاوت (بیشتر بد صورت شیسته‌های سبز، آبی یا آمفیبولیت و نیز سنگ‌های حاصل از دگرسانی و دگرگونی کفت اقیانوس) در افیولیت‌ها یافت می‌شوند. افیولیت نایین با امتداد شمالی جنوبی در شمال شهر نایین جای گرفته است (شکل ۱). این افیولیت از بشایاری پورسه اقیانوسی نایین بافت بوده که در امتداد گسل نایین بافت، در شمال باختری بلوك یزد و باختر خردقاره خاور ایران مرکزی رخمنون یافته است. بر پایه مطالعات پیشین روی افیولیت نایین (مانند جاری، ۱۳۷۶؛ شیردشتزاده، ۱۳۸۶؛ عسیدی‌مسیمه، ۱۳۸۶؛ فلاحتی، ۱۳۸۶؛ Lensch and Davoudzadeh, 1982؛ Torabi et al., 2011؛ Ghazi et al., 2010 and 2012؛ Rezaei et al., 2012؛ Shirdashtzadeh et al., 2010, 2011 and 2014؛ Shafai Moghadam et al., 2013) این افیولیت شامل سنگ‌های ماگمایی و آشناشی و رسوبات وابسته به آنها، دایک دیابازی، گابرو و پریدویت، به همراه سنگ‌های دگرگونی (شامل سربانیت، آمفیبریت، اسکارن، متاپریدویت نواری و اسپیلت)، لیستنیت و رودینگیت است.

در بخش‌های جنوبی افیولیت نایین (شمال خاوری شهر نایین) قطعاتی از سنگ‌های گوناگون شامل آمفیبولیت، متاچرت، هورنفلس و سریانیت درون اسکارن‌ها یافت می‌شود (شکل ۲). اندازه این قطعات سنگی معولاً از یک متر کمتر است. در برخی موارد حالت خمیده و منحنی شکل از خود نشان داده‌اند و برخی نیز بد صورت عدسی شکل درون اسکارن‌ها دیده می‌شوند (شکل ۲). کانی‌شناسی، سنگ‌شناسی و شرایط دما فشارپردازی اسکارن‌های نایین توسط ترابی و همکاران (۱۳۸۶؛ Shirdashtzadeh et al., 2010) روی این (شیردشتزاده، ۱۳۹۳ و ۱۳۹۴) بررسی شده است. در مطالعه (Shirdashtzadeh et al., 2010) قطعات در بخش جنوب خاوری آمیزه افیولیتی نایین، قطعاتی سنگی به رنگ سبز تیره درون اسکارن‌ها دیده شد که در نمونه دستی ظاهری شبیه به ارتوآمفیبولیت‌ها یا به عبارت دیگر سنگ‌های بازیک دگرگون شده (Shirdashtzadeh et al., 2010, 2011) منطقه دارند. با توجه به اینکه پژوهش‌های پیشین تنها به بررسی میکرو‌سکوبی و صحرابی برداخته‌اند (Shirdashtzadeh et al., 2010, ۱۳۸۶؛ Shirdashtzadeh et al., 2011)، در این پژوهش، بر پایه شیمی کانی‌های این قطعات آمفیبولیتی و مقایسه آنها با کانی‌شناسی کانی‌های درون ارتوآمفیبریت‌ها و اسکارن‌های متله به بررسی خاستگاه و ماهیت این قطعات آمفیبولیتی پرداخته شده است.

صرحایی و بررسی‌های سنگنگاری این آمفیولیتها خاستگاه آذربین دارند. از جمله شواهد صرحایی می‌توان به همبری با پریدویت‌ها و نبود رخمنونهای رسوبی در نزدیکی آنهای حالت توده‌ای و دایکی شکل، سطح همبری عادی آنهای با پریدویت‌ها و رسیدن دایک‌های آمفیولیتی به آمفیولیتهای توده‌ای و محورشدن درون آنهای اشاره کرد (شیردشت زاده، ۱۳۹۳). از سوی دیگر، شواهد سنگنگاری مانند نبود بیویت و بلورهای درشت کانی‌های کربناته (کلیست و آرگونیت)، ولاسترنیت، مقدار کم کوارتز و تقاضای کلیت‌پر و کسن‌های آذربین یانگر ماهیت ماگمایی و بازیک سنگ اولیه آمفیولیت‌هاست. بر پایه بررسی‌های Winter (2001) ارتوآمفیولیت‌ها دارای آمفیول، آلیت، ایدوت (زویزیت)، کلریت، کوارتز، اسفن، ایلمیت و مگنتیت و پارآمفیولیت‌ها دارای ارتوآمفیول، آلیت (مقدار آن در پارآمفیولیت‌ها فراوان‌تر از ارتوآمفیولیت‌هاست)، بیویت، کوارتز، کلریت یا آرگونیت هستند. بافت میکروسکوپی متداول در این سنگ‌ها گرانول بلاستیک است؛ اما بافت نماتوپلاستیک و پویی کیلوپلاستیک نیز در آنهای دیده می‌شود. کانی‌های اصلی سازنده آنهای شامل هورنبلنده (در امتداد شیترزیت سنگ) و پلازیوکلار است. در ارتوآمفیولیت‌ها آمفیول که از دگرگونی کلیت‌پر و کسن‌های آذربین بازالت اولیه پدیده آمده است؛ به صورت هورنبلندهای نیمه‌شکل دار تا ییشکل و دارای چندرنگی سبز زیتونی تا سبز روشن و در امتداد شیترزیت دیده می‌شود (شکل ۳). در برخی نمونه‌های ارتوآمفیولیت که تأثیرات دگرگونی پرسونده در حد رخساره شیست سبز را بهتر نشان می‌دهند؛ اکتینولیت (به رنگ سبز کرم‌رنگ و دارای چندرنگی، ضرب شکست و برجستگی کسر و زاویه خاموشی کمر از ۱۷ درجه) نیز در حاشیه هورنبلندها پدیده آمده است (شکل‌های ۳ A و C). فلدسپار موجود در آمفیولیت‌ها به صورت نیمه‌شکل دار و پیشتر دگرسان (سوسوریتی و سرسیتی شده) است. پیامد دگرسانی فلدسپارها، پیدایش کلریت، ایدوت (کلینزوزیزیت)، پرهیت و کلریت است. افزون بر آمفیول و فلدسپار، کلیت‌پر و کسن و گارنت نیز به فراوانی دیده می‌شوند. کلینت‌پر و کسن‌ها پیشتر نیمه‌شکل دار و درون آمفیول‌ها هستند و شواهد میکروسکوپی گویای این است که کلینت‌پر و کسن‌ها در لبه‌ها و در امتداد رخ‌ها که نفوذ سیال‌ها به آن بخش‌ها امکان‌پذیرتر بوده است، در حال دگرگونی به آمفیول هستند (شکل‌های ۳ A و B). افزون بر این، دگرسانی کلینت‌پر و کسن‌ها طی دگرگونی پرسونده بعدی که در حد رخساره شیست سبز است؛ موجب پدیده آمدن مقادیری کلریت، ایدوت و پرهیت در پیرامون این کانی و یا به صورت ادخال و پرکنده رگه‌ها شده است. گارنت یکی از کانی‌های حاصل از دگرگونی بازالت‌ها در حد رخساره آمفیولیت گرانولیت است که تهنا در برخی از ارتوآمفیولیت‌ها افولیت نایین یافت شد. گارنت‌های درون ارتوآمفیولیت‌ها دارای ابعادی در حدود یک تا ۳ میلی‌متر و به صورت نیمه‌شکل دار و بهشدت خرد شده هستند؛ اما به هر حال ماهیت ایزوتروپ خود را به خوبی نشان می‌دهند. در پیشتر نمونه‌ها به دلیل دگرگونی پرسونده بعدی (در حد رخساره شیست سبز) از پیرامون و در محل شکستگی‌ها تجزیه و دگرسان شده و به کانی‌های پرهیت، کلریت، ایدوت، اکتینولیت و کلریت تجزیه شده‌اند (شکل ۳ ب). همچنین، در ارتوآمفیولیت‌ها بلورهای فراوان اسفن (به شکل دوکی و لوزی‌شکل) در امتداد رخ‌ها و کشیدگی بلورهای آمفیول دیده می‌شوند که در هنگام کاهش دما و آزاد شدن تیتانیم از ساختار آمفیول‌ها، در امتداد رخ‌ها و کشیدگی‌های بلورهای آمفیول پدیده آمده‌اند. همراه با پدیدار شدن اسفن، کلریت نیز در امتداد رخ‌های هورنبلندها، پدیده آمده و در برخی نمونه‌ها کاملاً جانشین آمفیول‌ها شده است. به این ترتیب، اسفن، کلریت، کوارتز، کلریت، پرهیت، ایدوت، مگنتیت و ایلمیت نیز از کانی‌های فرعی هستند.

#### ۴-۲. اسکارن

از دید مجموعه کانی‌های سازنده، پیشترین اسکارن‌هایی که در افولیت نایین وجود دارند عبارت هستند از: گارنت اسکارن، کلینت‌پر و کسن اسکارن، پیر و کسن گارتن اسکارن و آمفیول اسکارن. اسکارن‌هایی که جانشین دولومیت می‌شوند، پیشتر دارای سیلیکات‌های متزیم دار مانند فورستریت و سریانشین هستند

فازهای دگرگونی گوناگونی از جمله یک دگرگونی ناجهای در حد رخساره آمفیولیت تا گرانولیت شده‌اند. افزون بر این، نتایج تجزیه‌های ژئوشیمیایی و سنگنگاری (شیردشت زاده، ۱۳۹۳) از Shirdashtzadeh et al., 2010, 2011 می‌دهد که توده‌های آمفیولیتی این افولیت (که پیشتر به صورت دایکی شکل درون زمینه سریانشیتی، یا به صورت توده‌ای از گدازه‌های بالشی دگرگون شده و یا در نزدیکی اسکارن‌ها و آهک‌های دگرگون جای گرفته‌اند) سنگ مادر آذربین دارند (ارتوآمفیولیت) و از دگرگونی دایک‌های دیباری و گدازه‌های بالشی این افولیت در رخساره دگرگونی آمفیولیت تا اولی گرانولیت پدید آمده‌اند.

در پیشتر رخمنونهای آمفیولیت‌های توده‌ای شکل در ارتباط صرحایی با اسکارن‌ها هستند؛ به گونه‌ای که اسکارن‌ها معمولاً به صورت یک واحد سنگی روشن، روی بخش بالایی آمفیولیت‌ها و در زیر متاجرتهای نواری جای داشته و پا فضای میان آنها را پر کرده‌اند (شیردشت زاده، ۱۳۹۳).

اسکارن‌ها در نمونه دستی زمینه‌ای به رنگ سفید از جنس کلریت و ولاسترنیت و بلورهای سبز رنگ کلینت‌پر و کسن و قهقهه‌ای رنگ گارنت دارند. البته این سنگ‌ها همگن نیستند و حق ممکن است در یک نمونه دستی دارای ترکهای مختلف از کانی‌ها باشد. از این رو، بر پایه فراوانی کانی‌ها، رنگ آنهای از سفید، کرمی، قهقهه‌ای تا سبز کرم‌رنگ و تیره متغیر است. مثلاً در برخی بخش‌های توده‌های اسکارن، تجمع گارنت موجب پیدایش سنگ‌هایی به نام گارنت شده است که به رنگ‌های تیره صورتی تا قهقهه‌ای هستند و یا برخی نمونه‌ها کلینت‌پر و کسن فراوانی پیشتری دارند و سبز رنگ دیده می‌شوند. به طور کلی، سیرای اسکارن‌ها در برخی نقاط به پیش از ۲ متر نیز می‌رسد؛ ولی از آنجا که به صورت پراکنده، خرد شده و دارای حجم کمی هستند، ارزش اقتصادی ندارند؛ اما مطالعه آنها در بررسی خاستگاه آمفیولیت‌ها و افولیت در برگیرنده‌شان اهمیت دارد (شیردشت زاده، ۱۳۸۶).

افزون بر اسکارن، مقادیر بسیار کم و پراکنده‌ای مرمر نیز در افولیت نایین دیده شد. این مرمرها از آهک‌های بالایی توالی افولیتی به وجود آمده‌اند و کانی اصلی سازنده آنها کلریت و بافت آنها گرانول بلاستیک است.

در برخی از رخمنونهای در زیر اسکارن‌ها، متاجرتهای نواری رخمنون دارند که گریای ژرفای زیاد دریا در این مناطق هستند. البته در برخی نقاط نیز توان مرز آشکاری میان متاجرتهای نواری با اسکارن‌هایی روی آنها تشخیص داد. همچنین، روی توده‌های بازالتی و گدازه بالشی آمفیولیتی و در زیر و نزدیکی لایه‌های اسکارن رخمنونهای پراکنده‌ای از لایه‌های چرخت و آهک دگرگون دیده می‌شود که از دگرگونی لایه‌های متناوب چرخت و آهک کهنه پدیده آمداند. البته با توجه بهشدت دگرگونی، آثار فسیلی در آنها دیده نمی‌شود. این گروه از سنگ‌ها در بخش‌های آهکی خود، کانی‌هایی همانند کانی‌های سازنده اسکارن‌ها (قطumat ریزی از بلورهای کلینت‌پر و کسن، گارنت، ولاسترنیت، اسفن و ایدوت در زمینه‌ای از کلریت) دارند؛ ولی در بخش‌های سیلیسی خود دارای کانی‌هایی همچون کوارتز، فلدسپار، کانی‌های رسی و کلریت هستند.

در اسکارن‌های منطقه قطumatی از سنگ‌های گوناگون شامل آمفیولیت، متاجرته، هورنفلس و سریانشیت یافت می‌شود. در جنوب افولیت نایین (شکل ۱) اندازه قطعات آمفیولیتی درون اسکارن‌ها معمولاً از یک متر کسر است و در برخی موارد حالت خمیده و منحنی شکل از خود نشان داده‌اند و برخی نیز به صورت عدسی شکل درون اسکارن‌ها دیده می‌شوند (شکل‌های ۲ A تا C).

#### ۴- سنگنگاری

##### ۴-۱. ارتوآمفیولیت‌ها

از دید سنگنگاری و پاراژئز کانی‌های آمفیولیت‌های نایین پیشتر شامل گارنت کلینت‌پر و کسن آمفیولیت، گارنت آمفیولیت، کلینت‌پر و کسن آمفیولیت، ایدوت آمفیولیت، کوارتز آمفیولیت و آمفیولیت هستند در شکل ۳ تصاویر میکروسکوپی و کانی‌شناسی یک گارنت آمفیولیت دیده می‌شود. بر پایه شواهد

و  $0.27 \text{--} 0.45 \text{~nm}$  اتم در واحد فرمول ساختاری است و هورنبلند منیزیم دار، با  $\text{Mg#} = 0.57 \text{--} 0.63$  (n=8) است (جدول ۱ و شکل ۶). آمفیول درون ارتوآمفیولیت‌ها از نوع کلسیک و دارای  $\text{Ca/Na} \sim 2$  و  $0.17 \text{~nm}$  اتم در واحد فرمول ساختاری و بر پایه ردیبدی (Hawthorne, 1981) بیشتر از نوع هورنبلند شرماکیت تا شرماکیت دارند.

## ۲- پیروگسن

بر پایه شواهد سنگنگاری، پیروگسن درون قطعات آمفیولیتی از نوع ولاستونیت با مقدار کمتر (شکل ۵) و کلینپیروگسن با ترکیب دیپرسید و  $\text{Mg#} = 0.61$  (جدول ۲ و شکل ۷) است. این کلینپیروگسن‌ها در نمودار  $\text{Ti} + \text{Cr} + \text{Na}$  در برابر  $\text{Al}$  (شکل ۷) در محدوده کلینپیروگسن سنگ‌های دگرگونی جای دارند؛ اما اسکارن‌ها دارای نوع پیروگسن از نوع ولاستونیت و کلینپیروگسن‌هایی با ترکیب دیپرسید و  $\text{Mg#} = 0.60$  هستند (شکل‌های ۴ و ۷) که در نمودار  $\text{Ti} + \text{Cr} + \text{Na}$  در برابر  $\text{Al}$  (شکل ۷) همگی در محدوده پیروگسن سنگ‌های دگرگونی جای دارند. در برابر آن، ترکیب پیروگسن‌های موجود در ارتوآمفیولیت‌ها نایین که همگی دیپرسید و  $\text{Mg#} = 0.77$  است (جدول ۴، شکل ۷)، از دید مقدار  $\text{Al}, \text{Ca}$  و  $\text{K}$  همانند کلینپیروگسن‌های آذرین و ماسگایی در ارتوآمفیولیت‌ها افولیت  $\text{Na}$  است و از انواع کلینپیروگسن‌های با خاستگاه دگرگونی در افولیت Limousin (Berger et al., 2005) است. اسکارن‌ها و قطعات آمفیولیتی درون آنها) مشابه هستند (شکل ۷).

## ۳- گافت

بررسی شیمی گارنت موجود در قطعات آمفیولیتی درون اسکارن‌ها (جدول ۴) نشان می‌دهد که این گارنت‌ها دارای محترای بالای گروسوپلار آندرادیت ( $\text{Grs}_{-68-78} \text{ And}_{-12-35}$ ) همانند گارنت درون اسکارن‌ها ( $\text{Grs}_{-51-52} \text{ Alm}_{-28-31}$ ) هستند و تنها میزان کمی پیروپ (در حدود ۱ تا  $1/5$  درصد مولی) در ترکیب ساختاری خود دارند؛ اما در برابر آن، گارنت‌های درون ارتوآمفیولیت‌ها از نوع آلماندین گروسوپلار هستند ( $\text{Grs}_{-51-52} \text{ Alm}_{-28-31}$ ) و میزان پیروپ (در حدود ۹ تا  $12 \text{~mol\%}$ ) و تا حدودی اسپیسارین آنها (در حدود ۱ تا  $7 \text{~mol\%}$ ) (بالاتر است) (جدول ۴). افزون بر این، گارنت‌ها در قطعات آمفیولیتی درون اسکارن، دارای میزان بالاتری از سیتانین (۰/۰۶ تا  $0/۰۱$  اتم در فرمول ساختاری) نسبت به گارنت‌ها در ارتوآمفیولیت‌ها (۰/۰۱ اتم در فرمول ساختاری) هستند (جدول ۴). همچنین، در حالی که مقدار بالاتر آهن سه‌ظرفیتی در گارنت درون اسکارن و قطعات آمفیولیتی درون اسکارن (جدول ۴) بیانگر شرایط مشابه و اکسایش در هنگام تبلور گارنت است؛ اما بین گارنت سه‌ظرفیتی در ساختار مولکولی گارنت در ارتوآمفیولیت‌ها (جدول ۴) بیانگر شرایط احیا به هنگام دگرگونی این سنگ‌هاست.

## ۴- بحث

پیدايش اسکارن‌ها مربرط به دگرگونی مجاورتی و رخساره‌های دگرگونی مجاورتی مرتبط با آن است که تحت تأثیر سیال‌های فراوان مربوط در محیط و فضای میان کانی‌ها در هنگام دگرگونی روی داده است. بر پایه بررسی‌های اخیر مانند (Putnis and Austrheim, 2010) سیال‌ها می‌توانند نقش سیار مهم و آسان کننده‌ای در رویداد دگرگونی‌های دما فشار بالا داشته باشند. خاستگاه سیلیسیم بالا در اسکارن‌ها را می‌توان به وجود گرهک‌های چرت و یا میانلایه‌های چرت در سنگ‌های آهکی اولیه مرتبط دانست. زیرا بر پایه بررسی‌های Shirdashtzadeh et al. (2015) روی چرت و آهک کرتاسه در افولیت عшин (که در نزدیکی افولیت نایین جای گرفته است) و بسیاری بررسی‌های مشابه دیگر مانند (Knauth, 1979) این سنگ‌ها دارای روابط صرایی سیال‌های نزدیکی باهم هستند و گاه چرت‌ها به صورت گرهک‌های فراوان درون آهک‌ها و گاه به صورت لایه‌ای روی آهک‌های دارند (شکل‌های ۲ و ۴) در Shirdashtzadeh et al. (2015). این پدیده به علت تغییرات ژرف و شرایط رسوب گذاری در پهنه اینترسی مربرط روی داده است. از این رو، دیده می‌شود

و اسکارن منیزیسی (Magnesian skarn) نامیده می‌شوند؛ اما اسکارن‌های که جانشین سنگ‌های آهکی می‌شوند، بیشتر دارای سیلیکات‌های آهن و کلسیم همانند آندرادیت و هدنبریت هستند و اسکارن کلسیک (Calcic skarn) نام دارند (Einaudi et al., 1981) از این رو، با توجه به کانی‌شناسی اسکارن درون افولیت‌های نایین و عшин، آنها را می‌توان از نوع اسکارن‌های کلسیمی دانست که در پی دگرگونی سنگ‌های آهکی کلسیتی با محترای کم منیزیم پدید آمده‌اند. البته فراوانی ناخالصی‌های سیلیسیم، منیزیم و آلمینیم دار موجب تبلور کانی‌های کالک‌سیلیکاتی (گارنت گروسوپلار و پیروگسن دیپرسید) در این سنگ‌ها شده است. اسکارن‌هایی که به متاجرحت‌های نواری نزدیک‌تر هستند کوارتز پیشتری دارند و به علت پیدايش کانی‌های گارنت (گروسوپلار و آندرادیت)، کلینپیروگسن و ولاستونیت می‌توان آنها را اسکارن بدون آب (Anhydrous Skarn) دانست. در شکل ۴ تصویرهای میکروسکوپی از کانی‌شناسی اسکارن‌ها در افولیت نایین نشان داده شده است. بافت اصلی این سنگ‌ها گرانوپلاستیک است؛ اما به علت وجود قطعاتی از کلسیت در کلینپیروگسن و یا قطعات کلینپیروگسن در گارنت‌ها بافت پری کلینوپلاستیک نیز نشان می‌دهند (شکل ۴). در حقیقت، وجود پیروگسن به صورت ادخال درون بلورهای گارنت یانگر تقدم پیدايش پیروگسن‌ها نسبت به گارنت است. ولاستونیت‌ها نیز که ماکل کارلسیاد دارند، هم‌زمان با دیپرسید و پیش از تبلور گارنت‌ها پدید آمده‌اند؛ اما شواهد میکروسکوپی گویای پیدايش برخی فازهای دگرگسانی در این سنگ‌هاست. برای نمونه، افزون بر کلسیت‌های بی‌شک در پی دگرگسانی کلینپیروگسن و گارنت نیز در این سنگ‌ها کلینپیروگسن‌ها پدید آمده است و بر اثر دگرگسانی گارنت‌ها و کلینپیروگسن‌ها پدید آمده است.

۴- ۳. قطعات آمفیولیتی درون اسکارن‌های جنوب افیولیت نایین شواهد صحرایی نشان می‌دهند که برگوارگی قطعات آمفیولیتی درون اسکارن‌ها با برگوارگی سنگ میزان اسکارنی آنها متفاوت است و از شکل و ساختار خرد قطعات پیروی می‌کند (شکل‌های ۲ و ۳). مطالعات میکروسکوپی یانگر حضور کانی‌های فراوان آمفیول، کلینپیروگسن، گارنت، کوارتز و ریزبلورهای ولاستونیت در زمینه کلسیتی، به صورت بافت اصلی گرانوپلاستیک است (شکل‌های ۳ و ۴). کانی‌های ثانویه سنگ شامل کلریت و پیرهیت هستند که بیشتر شکستگی‌های موجود در سنگ را پر کرده‌اند. کانی‌ها در مقطع میکروسکوپی بدون جهت گیری و شیستوزیه هستند و پراکندگی آنها در نمونه سنگی یکتاخت نیست؛ به طوری که در برخی بخش‌ها، سنگ از آمفیول (شکل ۵، A)، کلسیت (شکل ۵، B) و پیروگسن (شکل ۵، C) غنی‌شدگی پیشتری نشان می‌دهد. شواهد سنگ‌نگاری یانگر دگرگونی کلینپیروگسن به آمفیول است و البته برخلاف کلینپیروگسن‌ها که دارای مرز کانی‌شناسی آشکاری هستند، پیشتر آمفیول‌ها مرز نامنظمی دارند (شکل ۵، A). میزان کلسیت این سنگ‌ها نسبت به اسکارن‌های میزانشان به مراتب کمتر است. ریزبلورهای ولاستونیت در زمینه کلسیتی و در ارتباط با آن مبتلور شده‌اند (شکل ۵، B). وجود مقادیری از بلورهای کوارتز در این سنگ‌ها می‌تواند گویای میزان فراوان سیلیسیم در سنگ مادر اولیه آنها باشد. گارنت که یکی دیگر از کانی‌های میان‌مادول در این سنگ‌های رسوی آهکی سیلیکاتی است، یانگر آلمینیم دار بودن (برای نمونه داشتن ملمسار، مسکرویت و یا کانی‌های رسی) سنگ مادر این سنگ‌هاست.

## ۵- سیمی کانی‌ها

در مطالعه حاضر داده‌های ریزپردازشی کانی‌های سازنده قطعات آمفیولیتی به بررسی دقیق تراویت آنها در ارتباط با واحدهای سنگی دیگر در منطقه (شامل اسکارن میزان آنها و ارتوآمفیولیت‌ها) کمک کرده است.

## ۵- ۱. آمفیول

بر پایه ردیبدی (Hawthorne and Oberti, 2007) ترکیب شیمیایی آمفیول قطعات آمفیولیتی از نوع کلسیک و بر پایه نمودار  $\text{Ca/Na} \sim 2$  دارای Leake et al. (1997)

درون سنگهای بازیک ارتوآمفیولیتی منطقه بدطور خلاصه مقایسه شده است.  
 (۳) مقدار بالاتر  $\text{Fe}^{3+}+\text{Al}^{17}$  در ترکیب کلینیریروکسن‌ها (شکل ۸) نشان می‌دهد که ارتوآمفیولیت‌ها در یک محیط اکسیدانتر نسبت به قطعات آمفیولیتی درون اسکارن و اسکارن‌های منطقه پدید آمده‌اند. این پدیده نشان دهنده شرایط اکسایش متفاوت محیط در هنگام رویداد فاز ماسگایی و فاز دگرگونی ناحیه‌ای است. به عبارت ساده‌تر، در هنگام فعلیت ماسگایی سنگهای بازیک (بیش از دگرگونی ناحیه‌ای) و پیدایش پیروکسن، شرایط بیمار اکسیدانتر بوده؛ اما در هنگام دگرگونی ناحیه‌ای (هنگام پیدایش ارتوآمفیولیت از سنگهای بازیک و نیز پیدایش قطعات آمفیولیتی درون اسکارن و اسکارن از رسوبات) و پیدایش پیروکسن، فوگاسیته اکسیزن پایین‌تر بوده است. افزون بر فوگاسیته اکسیزن، بر پایه واکنش  $\text{Ca}+\text{Qtz} \rightarrow \text{Wo}+\text{CO}_2$  پیدایش ولاسترنیت در قطعات آمفیولیتی درون اسکارن و اسکارن نیز بیانگر فوگاسیته کم  $\text{CO}_2$  محیط در هنگام رویداد فاز دگرگونی است.

(ت) بررسی شبیه عناصر اصلی گارنت به عنوان یک فاز دگرگونی نیز نشان می‌دهد که گارنت در قطعات آمفیولیتی درون اسکارن (گروسوЛАR) با گارنت درون اسکارن (گروسوЛАR) همانند بیماری دارد؛ اما با گارنت درون ارتوآمفیولیت (آلاندین) از دید میزان گروسوЛАR، آلاندین، آندرادیت، پیروپ و اپسارتین کاملاً متفاوت است (جدول ۹). این پدیده به خوبی ماهیت شبیه‌ای متفاوت سنگ مادر قطعات آمفیولیتی درون اسکارن نسبت به ارتوآمفیولیت‌های منطقه را نشان می‌دهد. البته به علت میزان کمتر سازنده آندرادیت ( $\text{Fe}^{3+}$ ) در گارنت درون ارتوآمفیولیت‌ها نسبت به گارنت موجود در اسکارن و قطعات آمفیولیتی درون اسکارن می‌توان گفت که در هنگام دگرگونی و پیدایش گارنت، اسکارن و قطعات آمفیولیتی درون اسکارن در محیط به نسبت اکسیدانتری (نسبت به ارتوآمفیولیت‌ها) جای داشته‌اند. زیرا اسکارن‌ها و قطعات آمفیولیتی درون اسکارن محصول دگرگونی رسوباتی هستند که در ژرفای کمتر و روی واحد‌های آذربین بازیک جای داشته‌اند و در نتیجه شرایط فوگاسیته محیط در هنگام دگرگونی آنها به نسبت پیشتر بوده است. بنابراین، بر پایه مقایسه ترکیب کانی‌ها، اگر چه بدطور کلی فوگاسیته اکسیزن در هنگام دگرگونی (نسبت به فاز فعلیت ماسگایی بیش از آن) بسیار کمتر بوده (بر پایه ترکیب کلینیریروکسن‌ها و دگرگونی در شکل ۷)، اما فوگاسیته اکسیزن محیط در هنگام دگرگونی گارنت و آمفیولیت ( $\text{Fe}^{3+} \# \sim 0.3$ ) بیش از آنکه به کانی‌های دگرگونی گارنت و آمفیولیت (پارآمفیولیت) که علت این پدیده متأثر از ژرفای جایگیری رسوبات و سنگ‌های آذربین بازیک و میزان تأثیر و نفوذ سیال‌های محیط در هنگام دگرگونی بوده است.

## ۷- نتیجه گیری

بر پایه شواهد سنگنگاری و کانی‌شناسی یاد شده، اگر چه آثار کانی‌شناسی اولیه بر اثر دگرگونی شدید از بین رفته است؛ اما قطعات آمفیولیتی درون اسکارن احتفالاً همان رسوبات آهکی مارنی و سیلیکاتی کفت دریا بوده‌اند که در آهک‌های اولیه (به صورت گرهک و یا میانلایه) وجود داشته باشد. در آنها فزو افتاده‌اند. در نتیجه، پس از رخداد دگرگونی مجاوری و تاثیر سیال‌ها و هم‌زمان با اسکارنی شدن، سنگ‌آهک‌ها به آمفیولیت (پارآمفیولیت) تبدیل شده‌اند. البته بر پایه کانی‌شناسی، این سنگ‌ها بدون کانی‌های کربناته و سیلیکاتی کلسیم و آلمینیم‌دار فراوانی بیوتیت هستند و میزان کانی‌های کربناته و سیلیکاتی کلسیم و آلمینیم‌دار فراوانی دارند. بنابراین، سنگ مادر آنها را می‌توان مارن‌های آهکی معرفی کرد که در آنها میزان کانی‌های مانند کلیست، مسکوویت و کانی‌های رسی، فراوانی بالایی داشته است. به عبارت ساده‌تر در هنگام رویداد یک دگرگونی ناحیه‌ای که موجب تبدیل سنگ‌های بازیک به ارتوآمفیولیت شده است، بخش‌های رسوبی درون اسکارن‌های مجاور نیز به قطعات آمفیولیتی و آهک‌های چرت دار به اسکارن تبدیل شده‌اند.

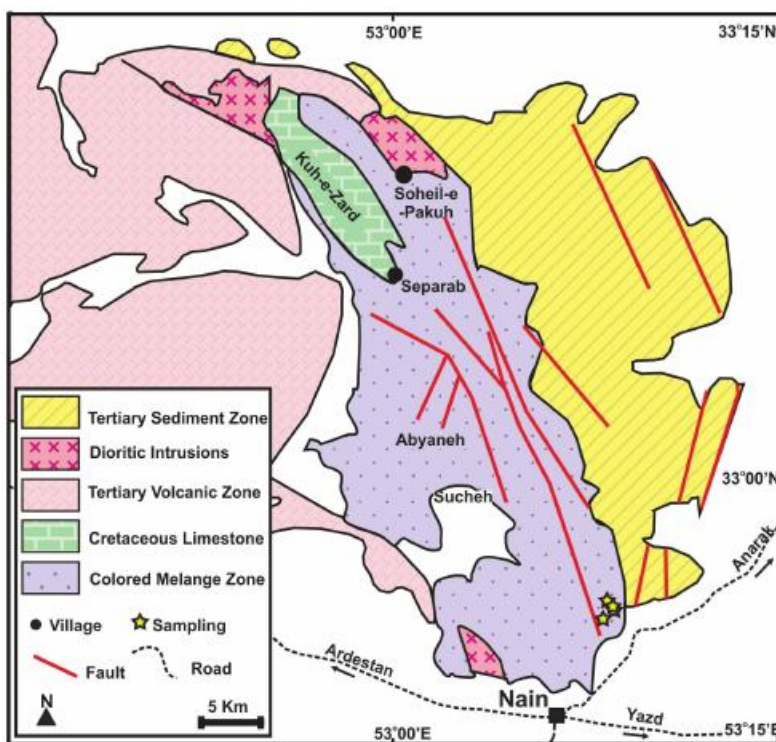
که اسکارن‌هایی که به متاجرتهای نواری نزدیک‌تر هستند، کوارتز پیشتری دارند. بنابراین، دگرگونی این آهک‌های سیلیکاتی پیشتری در اسکارن‌های حاصل یافته‌اند به پیدایش کانی‌های سیلیکاتی اشاره می‌کند. اما شواهد صحرابی یانگر زنگ و بافت متفاوت قطعات آمفیولیتی نسبت به زمینه اسکارنی آنهاست. افزون بر این، این قطعات آمفیولیتی از دید کانی‌شناسی و شبیه کانی‌ها با ارتوآمفیولیت‌های منطقه و اسکارن‌های میزانشان نیز متفاوت هستند، به گونه‌ای که شاید بتوان این سنگ‌ها را الیستیت (Olistolith) یا یگانه‌سنگ‌هایی با حاستگاه رسوبی دانست. در ادامه به این تفاوت‌ها اشاره می‌شود:

(الف) یکی از تفاوت‌های مهم کانی‌شناسی قطعات آمفیولیتی درون اسکارن‌ها در مقایسه با ارتوآمفیولیت‌های منطقه، نبود فلدسپار در ترکیب مواد و فراوانی کلیست در قطعات آمفیولیتی درون اسکارن‌هاست. در واقع، اگرچه از دید سنگنگاری حضور آمفیول، پیروکسن و گارنت موجب شابه قطعات آمفیولیتی درون اسکارن با ارتوآمفیولیت‌های منطقه شده است؛ اما نبود فلدسپار و فراوانی کلیست، در کنار تفاوت ترکیب شبیه‌ای آمفیول، گارنت و کلینیریروکسن، از تفاوت‌های کانی‌شناسی این دو گروه آمفیولیت به شمار می‌رود. همچنین، نبود اسفن در قطعات آمفیولیتی درون اسکارن نشان دهنده مقدار کم یتایان در سنگ مادر آنهاست. حالی که در ارتوآمفیولیت‌های منطقه اسفن را می‌توان در امتداد رخها و حاشیه بلورهای آمفیول دید.

(ب) آمفیول درون اسکارن‌ها بسیار کمیاب است و درون قطعات آمفیولیتی درون اسکارن نیز فراوانی بسیار کمتری نسبت به ارتوآمفیولیت‌ها دارد. ترکیب شبیه‌ای آمفیول قطعات آمفیولیتی درون اسکارن (هوربلند میزان در با  $\text{Mg}^{\#}$  بالاتر از ۰/۹) با آمفیول درون ارتوآمفیولیت‌های منطقه (هوربلند شرم‌کیتی با  $\text{Mg}^{\#}$  کمتر از ۰/۸) تفاوت بسیاری دارد و میزان سیلیس در آمفیول قطعات آمفیولیتی درون اسکارن به نسبت کمتر است (جدول ۱ و شکل ۶). افزون بر این، مقدار کمتر آلمینیم، آهن، کلسیم و سدیم در آمفیول درون قطعات آمفیولیتی درون اسکارن از دیگر تفاوت‌های شبیه‌ای این آمفیول‌هاست. میزان بالاتر  $\text{Fe}^{3+} \# \sim 0.9$  در آمفیول درون قطعات آمفیولیتی ( $\text{Fe}^{3+} \# \sim 0.3$ ) نسبت به ارتوآمفیولیت‌ها ( $\text{Fe}^{3+} \# \sim 0.06$ ) بیش از آنکه به شرایط اکسایش بالاتر در هنگام دگرگونی قطعات آمفیولیتی مربوط باشد؛ می‌تواند یانگر محیط اکسایش کانی‌های رسوبی اولیه قطعات آمفیولیتی درون اسکارن باشد که در ژرفای کمتر (فوگاسیته به نسبت بالاتر) جای داشته‌اند. در برابر آن، میزان بالای  $\text{Ti}$  در فرمول ساختاری آمفیول درون ارتوآمفیولیت‌ها ( $\text{Mg}^{\#} \sim 0.13$  a.p.f.u.) نسبت به قطعات آمفیولیتی درون اسکارن (۰/۰۸ a.p.f.u.) که در فراوانی پیدایش کانی اسفن در ارتوآمفیولیت‌ها مؤثر بوده با میزان بالای این عنصر در سنگ مادر تولیتی ارتوآمفیولیت‌ها در ارتباط است.

(پ) افزون بر این، اگر چه پیروکسن موجود در قطعات آمفیولیتی درون اسکارن، اسکارن‌ها و آمفیولیت‌های منطقه هستگی از نوع دیوپسید است؛ اما میزان سازنده فروپسیلت در پیروکسن درون اسکارن و قطعات آمفیولیتی درون اسکارن، همانند هم و از پیروکسن درون ارتوآمفیولیت‌های منطقه کمتر است (جدول ۲ و شکل ۷). ویزگی‌های شبیه‌ای که موجب تمايز کلینیریروکسن‌های دگرگونی (Cpx) و قطعات آمفیولیتی درون اسکارن، از کلینیریروکسن‌های درون ارتوآمفیولیت‌ها (Cpx) می‌شوند عبارت‌اند از:

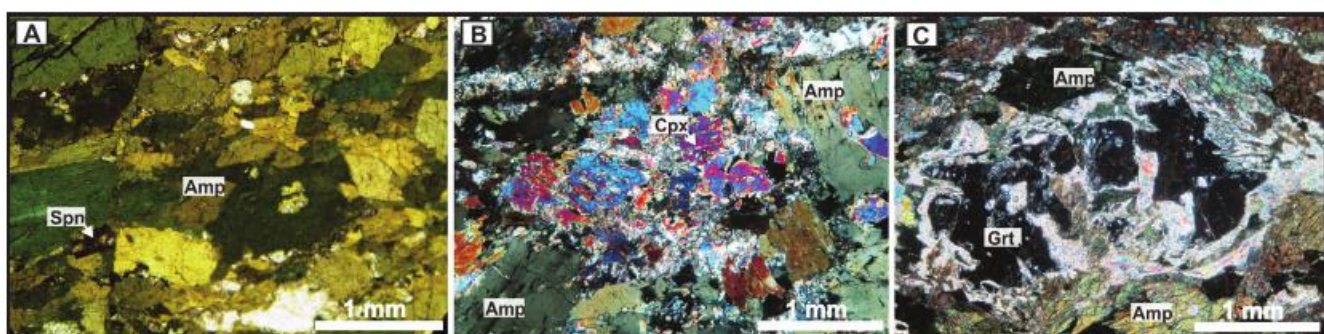
(۱) مقدار  $\text{Al}^{\#}$  بالاتر در فرمول ساختاری Cpx درون ارتوآمفیولیت‌ها ( $\text{Al}^{\#} > 0.06$  a.p.f.u.) بدخوبی موجب تمايز آنها از Cpx درون قطعات آمفیولیتی درون اسکارن منطقه ( $\text{Al}^{\#} < 0.06$  a.p.f.u.) شده است (جدول ۲ و شکل ۷).  
 (۲) مقدار  $\text{Mg}^{\#}$  بالاتر (۰/۶۹ - ۰/۸۵ تا ۰/۶۵ - ۰/۵۴) درصد در Cpx درون قطعات آمفیولیتی درون Cpx (جدول ۲) نیز از دیگر ویزگی‌های شبیه‌ای تفکیک کننده آنهاست. در جدول ۴ ترکیب کلینیریروکسن و قطعات آمفیولیتی درون اسکارن با پیروکسن



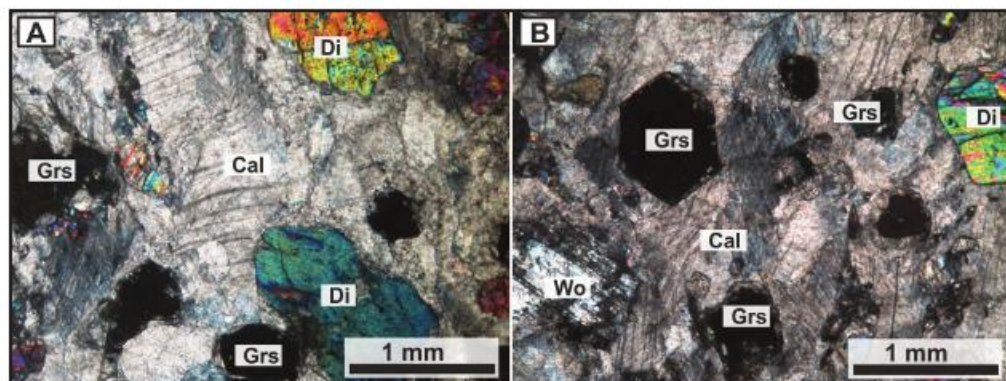
شکل ۱- نقشه زمین‌شناسی آفولیت ناین (شمال شهر ناین، ایران مرکزی) (برگرفته از Davoudzadeh (1972) با تغییراتی از شیردشت‌زاده (۱۳۹۳)) و موقعیت نمونه برداری از تعقیبات آمفیبولیتی درون اسکارن‌های جنوب آفولیت ناین.



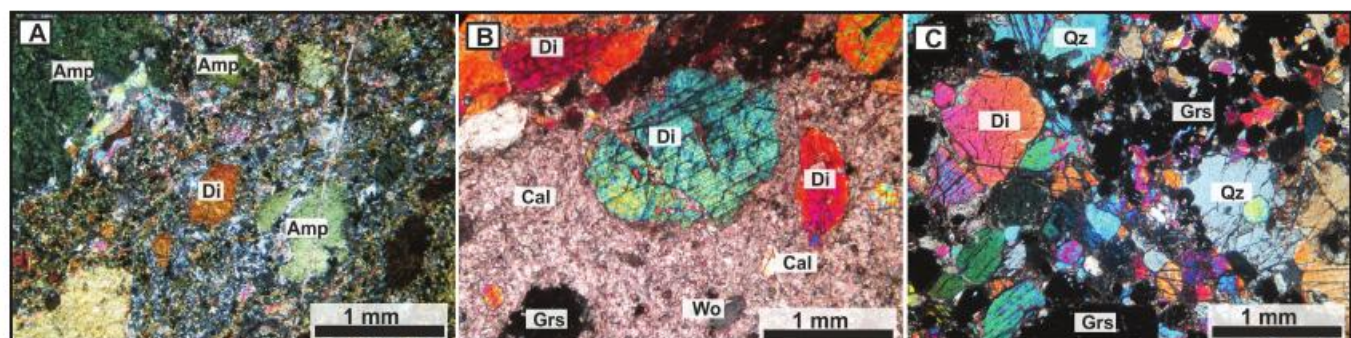
شکل ۲- تصویرهای صحرابی از ریخت‌شناسی تعقیبات آمفیبولیتی درون اسکارن‌ها (آفولیت ناین).



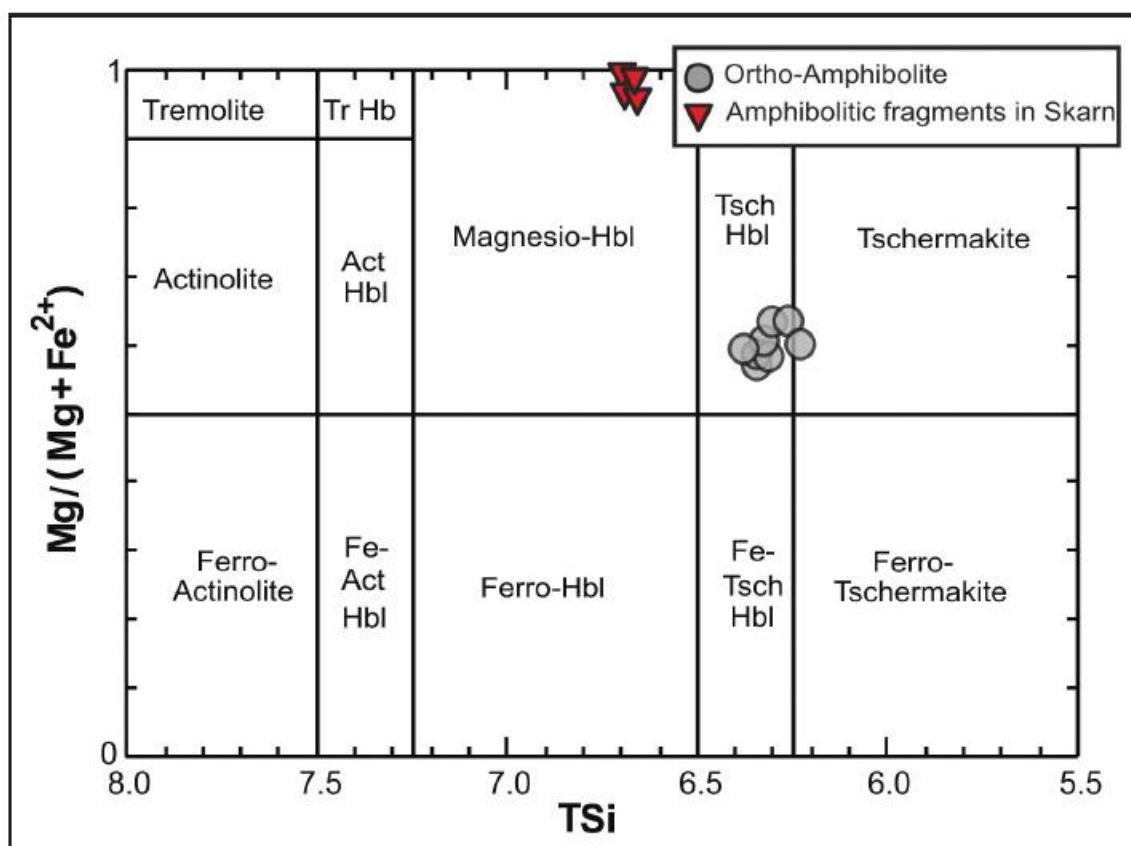
شکل ۳- تصویرهای میکروسکوپی از ارتو-آمفیبولیت گارنت دار آفولیت ناین (ایران مرکزی). (A) آمفیبول (در نور PPL یا XPL)؛ (B) بقایای کلینوپیر و کسن‌های آذرین در حال دگرگویی به آمفیبول (در نور XPL یا PPL)؛ (C) گارنت در حال دگرگویی به مجموعه کان‌شناسی پرھنیت، کلسیت، کلریت، آیدوت و اکتینولیت (در نور XPL).



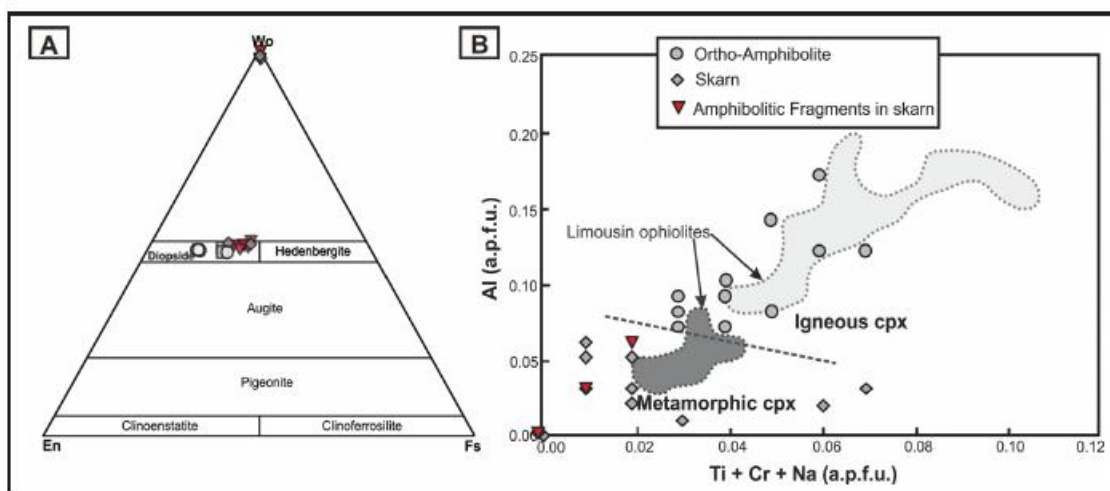
شکل ۴- تصویرهای میکروسکوپی (در نور XPL) از کانی شناسی اسکارن اگیولیت نایین (ایران مرکزی) بر پایه بررسی های شیردشتزاده (۱۳۹۳).



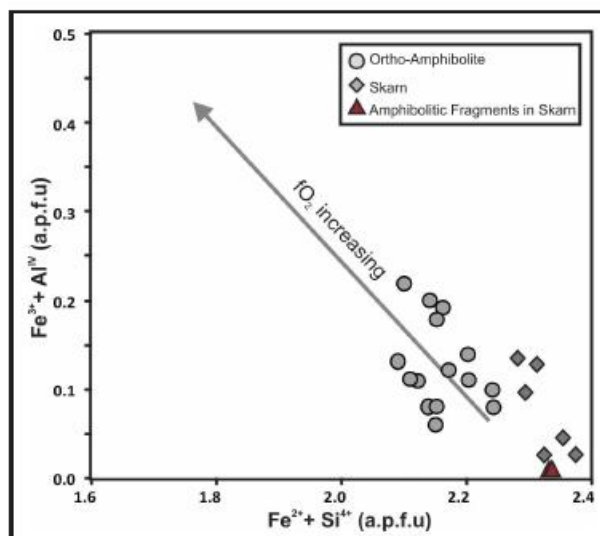
شکل ۵- تصویرهای میکروسکوپی (در نور XPL) از کانی شناسی لطعات آمفیبولیتی درون اسکارن های جنوب اگیولیت نایین (ایران مرکزی).



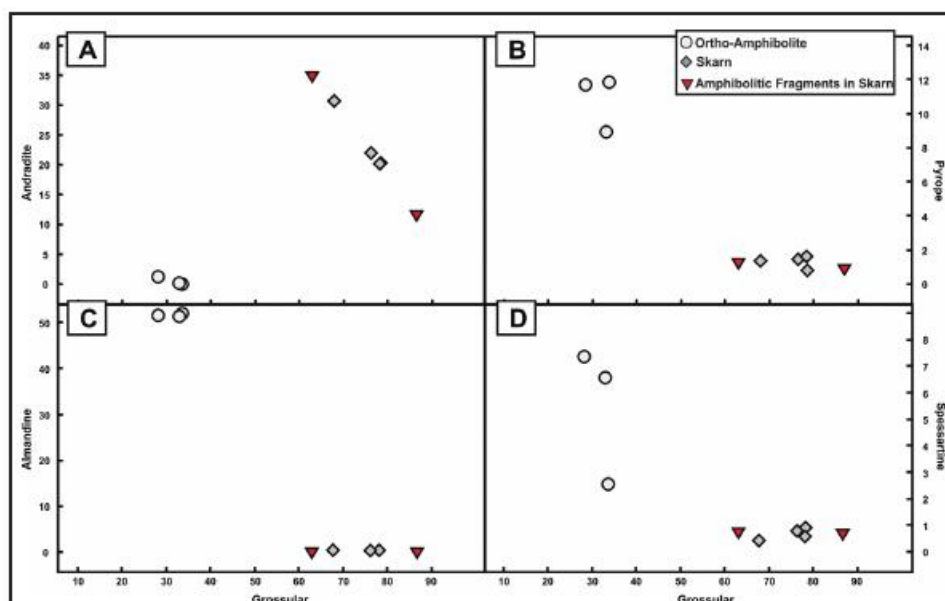
شکل ۶- ترکیب آمفیول در ارتوآمفیولیت ها و لطعات آمفیبولیتی درون اسکارن اگیولیت نایین (ایران مرکزی) روی نمودار رده بندی آمفیول های کلیک و دارای  $(\text{Leake et al., 1997}) \text{Ca}_\lambda < 0.5 \text{ g}$  و  $(\text{Na}+\text{K})_\lambda < 0.5$



شکل ۷- (A) ترکیب کلینوپیر و کسن در سنگ‌های ارتوآمفیولیت، اسکارن و قطعات آمفیولیتی درون اسکارن آفیولیت نایین (ایران مرکزی) در نمودار رده‌بندی کلینوپیر و کسن‌ها (Morimoto, 1989) (B) ترکیب کلینوپیر و کسن‌ها در ارتوآمفیولیت، اسکارن و قطعات آمفیولیتی درون اسکارن‌های جنوب آفیولیت ملاتز نایین در مقایسه با ترکیب کلینوپیر و کسن در سنگ‌های آذرین و دگرگونی آفیولیت Limousin (Beiger et al., 2005)



شکل ۸- مقایسه اکسیداسیون در ارتوآمفیولیت، اسکارن و قطعات آمفیولیتی درون اسکارن جنوب آفیولیت نایین (ایران مرکزی) بر پایه مقایسه ترکیب کلینوپیر و کسن روی نمودار D'Antonio and Kristensen (2005)  $\text{Fe}^{3+}+\text{Al}^{4+}$  در برابر  $\text{Fe}^{2+}+\text{Si}^{4+}$



شکل ۹- مقایسه ترکیب اعضای پایانی گارنت در ارتوآمفیولیت‌ها، اسکارن و قطعات آمفیولیتی درون اسکارن جنوب آفیولیت نایین (ایران مرکزی).

جدول ۱- ترکیب شیمیایی آمفیبول مورخ در از تو آمفیبولیت ها و قطعات آمفیبولیتی درون اسکارن های جنوب اقیانوس اکسیان (ایران مرکزی) به همراه محاسبه فرمول ساختاری آن بر پایه ۲۳ اتم اکسیزن.

Rock Type	از تو آمفیبولیت								قطعات آمفیبولیتی درون اسکارن			
	N34	N34	N34	N34	N3	N39-1	N39-1	N39-1	N188	N188	N188	N188
Thin section	524	526	529	530	54	515	519	521	74	75	76	77
(wt%)												
SiO <sub>2</sub>	42.92	43.24	42.63	42.38	42.47	42.55	42.12	42.32	47.49	47.80	47.05	47.34
TiO <sub>2</sub>	1.14	1.11	1.04	1.16	0.77	1.36	1.32	1.21	0.75	0.72	0.74	0.71
Al <sub>2</sub> O <sub>3</sub>	12.67	12.51	12.76	12.47	12.02	13.07	12.71	11.56	9.30	8.88	9.40	9.01
Cr <sub>2</sub> O <sub>3</sub>	0.06	0.04	0.07	0.04	0.00	0.04	0.05	0.01	0.27	0.37	0.27	0.28
FeO*	17.39	17.50	17.39	16.66	17.35	16.08	17.62	16.85	6.54	6.70	6.60	6.60
MnO	0.14	0.19	0.30	0.17	0.84	0.26	0.26	0.34	0.27	0.28	0.26	0.22
MgO	9.74	9.99	9.69	10.04	10.15	10.45	9.91	10.07	18.41	18.60	18.19	18.43
CaO	11.50	11.68	11.71	11.29	11.33	11.60	11.45	11.62	11.41	11.28	11.60	11.63
Na <sub>2</sub> O	1.99	1.86	1.75	2.02	1.28	1.63	1.83	1.66	2.67	2.67	2.74	2.55
K <sub>2</sub> O	0.43	0.36	0.31	0.30	1.51	0.64	0.66	0.58	0.18	0.22	0.21	0.23
NiO	0.00	0.00	0.00	0.00	0.03	0.00	0.00	0.00	0.14	0.13	0.15	0.12
Sum	97.96	98.48	97.63	96.53	97.74	97.68	97.94	96.23	97.42	97.64	97.21	97.11
(a.p.f.u.)												
Si	6.35	6.35	6.32	6.33	6.31	6.27	6.23	6.38	6.68	6.70	6.66	6.69
Ti	0.13	0.12	0.12	0.13	0.09	0.15	0.15	0.14	0.08	0.08	0.08	0.07
Al <sup>IV</sup>	1.65	1.65	1.68	1.67	1.69	1.73	1.77	1.62	1.32	1.30	1.34	1.31
Al <sup>V</sup>	0.55	0.51	0.54	0.53	0.41	0.54	0.45	0.43	0.22	0.17	0.23	0.19
Cr	0.01	0.00	0.01	0.01	0.00	0.00	0.01	0.00	0.03	0.04	0.03	0.03
Fe <sup>3+</sup>	0.55	0.62	0.63	0.62	0.85	0.64	0.74	0.57	0.72	0.78	0.62	0.67
Fe <sup>2+</sup>	1.60	1.53	1.53	1.46	1.30	1.34	1.44	1.56	0.05	0.00	0.16	0.11
Mn	0.02	0.02	0.04	0.02	0.11	0.03	0.03	0.04	0.03	0.03	0.03	0.03
Mg	2.15	2.19	2.14	2.24	2.25	2.30	2.19	2.26	3.86	3.89	3.84	3.88
Ca	1.82	1.84	1.86	1.81	1.80	1.83	1.82	1.88	1.72	1.69	1.76	1.76
Na	0.57	0.53	0.50	0.58	0.37	0.47	0.52	0.49	0.73	0.73	0.75	0.70
K	0.08	0.07	0.06	0.06	0.29	0.12	0.12	0.11	0.03	0.04	0.04	0.04
Ni	0.00	0.00	0.00	0.00	0.00	0.00	0.00	0.00	0.00	0.00	0.00	0.00
Sum	15.47	15.43	15.42	15.45	15.46	15.42	15.46	15.47	15.46	15.45	15.53	15.49
<sup>b</sup> (Ca+Na)	2.00	2.00	2.00	2.00	2.00	2.00	2.00	2.00	2.00	2.00	2.00	2.00
<sup>b</sup> Na	0.18	0.16	0.14	0.19	0.20	0.17	0.18	0.12	0.28	0.30	0.24	0.24
Fe <sup>3+</sup> #	0.26	0.29	0.29	0.30	0.40	0.32	0.34	0.27	0.94	1.00	0.79	0.86
Mg#	0.57	0.59	0.58	0.61	0.63	0.63	0.60	0.59	0.99	1.00	0.96	0.97
Classification	tschermakitic hornblende	ferrian-potassian-hornblende	tschermakite	tschermakitic hornblende	magnesiocrososhornblende	ferrian-magnesiocrososhornblende	edenitic hornblende	edenitic hornblende				

Note: FeO\* = total FeO.

جدول ۲- ترکیب شیمیایی کلینپیر و کسن موجود در ارتوآمفیولیت‌ها و قطعات آمفیولیتی درون اسکارن انبریت ناین (ایران مرکزی) در مقایسه با کلینپیر و کسن موجود در اسکارن‌های منطقه ناین، به همراه محاسبه اعضای پایانی و فرمول ساختاری آنها بر پایه ۶ اتم اکسیژن.

Rock type	ارتوآمفیولیت														
	Mineral type	Cpx													
Sample no.		N34	N34	N34	N34	N34	N63	N63	N63	N63	N63	N63	N39-1	N34	N34
Point no.	527	531	79	80	81	143	144	145	146	147	148	520	82	83	84
(wt%)															
SiO <sub>2</sub>	50.70	50.79	51.69	50.52	51.60	51.97	53.23	53.23	52.87	52.38	52.19	49.71	51.89	51.06	51.73
TiO <sub>2</sub>	0.27	0.14	0.12	0.35	0.18	0.06	0.06	0.09	0.15	0.14	0.14	0.38	0.15	0.31	0.14
Al <sub>2</sub> O <sub>3</sub>	2.56	2.22	1.54	3.07	1.61	1.73	1.42	1.42	1.55	2.03	2.02	3.81	1.65	2.65	1.58
Cr <sub>2</sub> O <sub>3</sub>	0.00	0.04	0.01	0.06	0.00	0.00	0.03	0.02	0.05	0.01	0.06	0.02	0.00	0.03	0.00
FeO*	10.57	10.56	10.07	10.37	10.59	6.94	7.23	6.89	7.24	7.52	7.10	10.95	9.67	10.64	9.17
MnO	0.27	0.25	0.25	0.22	0.26	0.26	0.24	0.24	0.28	0.26	0.26	0.35	0.49	0.44	0.37
MgO	11.76	12.01	11.75	11.48	11.56	14.06	14.17	14.19	13.97	13.89	13.90	11.17	11.97	11.49	12.28
CaO	22.71	24.00	23.42	23.14	22.90	23.63	23.85	23.57	23.53	23.50	23.41	22.06	23.40	22.34	23.49
Na <sub>2</sub> O	0.75	0.54	0.40	0.57	0.55	0.46	0.44	0.43	0.42	0.47	0.51	0.65	0.51	0.69	0.52
K <sub>2</sub> O	0.05	0.00	0.00	0.00	0.02	0.00	0.00	0.02	0.01	0.01	0.01	0.01	0.00	0.00	0.00
NiO	0.02	0.01	0.00	0.00	0.05	0.01	0.02	0.03	0.02	0.01	0.02	0.03	0.12	0.00	0.00
Sum	99.67	100.57	99.25	99.78	99.32	99.12	100.69	100.13	100.08	100.21	99.61	99.13	99.85	99.65	99.28
(a.p.f.u.)															
Si	1.92	1.92	1.96	1.90	1.95	1.95	1.97	1.97	1.96	1.95	1.95	1.90	1.95	1.93	1.95
Ti	0.01	0.00	0.00	0.01	0.01	0.00	0.00	0.00	0.00	0.00	0.00	0.01	0.00	0.01	0.00
Al <sup>Trem</sup>	0.12	0.10	0.07	0.14	0.08	0.08	0.06	0.06	0.07	0.09	0.09	0.17	0.07	0.12	0.07
Al <sup>IV</sup>	0.08	0.08	0.04	0.10	0.05	0.05	0.03	0.03	0.04	0.05	0.05	0.10	0.05	0.08	0.05
Al <sup>VII</sup>	0.04	0.02	0.03	0.04	0.03	0.03	0.03	0.03	0.03	0.04	0.04	0.07	0.02	0.04	0.02
Cr	0.00	0.00	0.00	0.00	0.00	0.00	0.00	0.00	0.00	0.00	0.00	0.00	0.00	0.00	0.00
Fe <sup>3+</sup>	0.12	0.14	0.04	0.08	0.05	0.08	0.05	0.03	0.04	0.06	0.06	0.09	0.06	0.06	0.07
Fe <sup>2+</sup>	0.22	0.18	0.28	0.25	0.29	0.14	0.17	0.18	0.19	0.17	0.16	0.26	0.25	0.27	0.22
Mn	0.01	0.01	0.01	0.01	0.01	0.01	0.01	0.01	0.01	0.01	0.01	0.01	0.02	0.01	0.01
Mg	0.67	0.68	0.66	0.64	0.65	0.79	0.78	0.78	0.77	0.77	0.77	0.64	0.67	0.65	0.69
Ca	0.92	0.97	0.95	0.93	0.93	0.95	0.94	0.94	0.94	0.94	0.94	0.90	0.94	0.90	0.95
Na	0.06	0.04	0.03	0.04	0.04	0.03	0.03	0.03	0.03	0.03	0.04	0.05	0.04	0.05	0.04
K	0.00	0.00	0.00	0.00	0.00	0.00	0.00	0.00	0.00	0.00	0.00	0.00	0.00	0.00	0.00
Ni	0.00	0.00	0.00	0.00	0.00	0.00	0.00	0.00	0.00	0.00	0.00	0.00	0.00	0.00	0.00
Sum	4.04	4.04	4.00	4.00	4.00	4.02	4.02	4.01	4.01	4.02	4.02	4.03	4.00	4.00	4.00
Mg#	0.75	0.79	0.70	0.72	0.69	0.85	0.82	0.81	0.80	0.82	0.83	0.71	0.73	0.71	0.76
Fs	17.18	16.67	16.85	17.45	17.85	11.27	11.58	11.19	11.80	12.14	11.59	18.43	16.54	18.42	15.51
En	33.51	33.39	34.18	33.71	33.89	39.44	39.30	39.77	39.21	38.87	39.16	32.70	34.71	34.03	35.58
We	46.51	47.97	48.97	48.84	48.26	47.61	47.54	47.47	47.45	47.27	47.41	46.40	48.76	47.55	48.91

Note: FeO\* = total FeO.

Rock type	قطعات آمفیولیتی درون اسکارن					اسکارن								Wo			
	Mineral type	Cpx		Wo	Cpx												
Sample no.		N188	N188		N188	N188	N188	N188	N188	N34	N34	N34	N34	16	16	N34	N34
Point no.	70	71	69	72	73	521-1	528-1	75	76	1	4	5	6	532-1	68		
(wt%)																	
SiO <sub>2</sub>	52.995	52.023	52.035	51.932	51.890	53.11	51.96	51.48	51.60	51.29	50.78	50.68	51.15	51.49	52.06		
TiO <sub>2</sub>	0.02	0.00	0.00	0.00	0.00	0.01	0.02	0.02	0.02	0.05	0.05	0.02	0.00	0.02	0.00		
Al <sub>2</sub> O <sub>3</sub>	0.67	1.20	0.00	0.00	0.01	0.37	0.67	1.11	1.24	1.06	1.19	0.57	0.59	0.00	0.00		
Cr <sub>2</sub> O <sub>3</sub>	0.00	0.00	0.00	0.00	0.00	0.05	0.01	0.08	0.01	0.02	0.00	0.00	0.01	0.01	0.00		
FeO*	10.94	13.47	0.54	0.28	0.28	12.91	12.16	13.20	12.63	12.50	14.12	14.03	12.66	0.15	0.20		

Rock type	قطعات آمفیبولیتی درون اسکارن					اسکارن										
	Mineral type	Cpx		We			Cpx								We	
Sample no.		N188	N188	N188	N188	N188	N34	N34	N34	N34	16	16	16	16	N34	N34
Point no.		70	71	69	72	73	521-1	528-1	75	76	1	4	5	6	532-1	68
(wt%)																
MnO	0.22	0.67	0.24	0.14	0.13	0.37	0.52	0.66	0.68	0.70	0.87	0.60	0.69	0.17	0.14	
MgO	11.26	9.25	0.10	0.07	0.08	10.26	10.91	9.45	9.87	9.86	9.19	9.71	10.24	0.05	0.09	
CaO	24.41	23.81	47.96	47.69	47.80	22.84	23.86	23.01	23.59	23.59	24.32	24.00	24.31	47.75	45.70	
Na <sub>2</sub> O	0.19	0.25	0.00	0.00	0.00	0.22	0.19	0.20	0.17	0.20	0.15	0.26	0.14	0.01	0.04	
K <sub>2</sub> O	0.00	0.00	0.01	0.00	0.00	0.02	0.02	0.01	0.00	0.00	0.00	0.02	0.00	0.01	0.02	
NiO	0.01	0.02	0.00	0.01	0.00	0.00	0.00	0.00	0.00	0.05	0.04	0.01	0.06	0.00	0.00	
Sum	100.70	100.70	100.87	100.12	100.19	100.16	100.32	99.20	99.79	99.31	100.70	99.91	99.84	99.65	98.26	
(a.p.f.u.)																
Si	1.99	1.98	3.00	2.99	2.99	2.03	1.94	1.99	1.97	1.97	1.94	1.94	1.96	2.96	3.00	
Ti	0.00	0.00	0.00	0.00	0.00	0.00	0.06	0.00	0.00	0.00	0.00	0.00	0.00	0.00	0.00	
Al <sup>IV</sup>	0.03	0.06	0.00	0.00	0.00	0.02	0.03	0.05	0.06	0.05	0.05	0.03	0.03	0.00	0.00	
Al <sup>VI</sup>	0.01	0.02	0.00	0.00	0.00	0.00	0.03	0.01	0.03	0.03	0.05	0.03	0.03	0.00	0.00	
Al <sup>VII</sup>	0.02	0.04	0.00	0.00	0.00	0.02	0.00	0.04	0.03	0.02	0.00	0.00	0.00	0.00	0.00	
Cr	0.00	0.00	0.00	0.00	0.00	0.00	0.00	0.00	0.00	0.00	0.00	0.00	0.00	0.00	0.00	
Fe <sup>3+</sup>	0.00	0.00	0.01	0.01	0.01	0.00	0.00	0.00	0.01	0.02	0.08	0.11	0.07	0.01	0.01	
Fe <sup>2+</sup>	0.34	0.43	0.02	0.00	0.00	0.41	0.38	0.43	0.40	0.38	0.37	0.34	0.33	0.00	0.00	
Mn	0.01	0.02	0.01	0.01	0.01	0.01	0.02	0.02	0.02	0.02	0.03	0.02	0.02	0.01	0.01	
Mg	0.63	0.52	0.01	0.01	0.01	0.58	0.61	0.54	0.56	0.57	0.52	0.56	0.58	0.00	0.01	
Ca	0.98	0.97	2.96	2.94	2.95	0.93	0.96	0.95	0.97	0.97	0.99	0.99	1.00	2.95	2.82	
Na	0.01	0.02	0.00	0.00	0.00	0.02	0.01	0.02	0.01	0.02	0.01	0.02	0.01	0.00	0.00	
K	0.00	0.00	0.00	0.00	0.00	0.00	0.00	0.00	0.00	0.00	0.00	0.00	0.00	0.00	0.00	
Ni	0.00	0.00	6.00	5.96	5.96	0.00	0.00	0.00	0.00	0.00	0.00	0.00	0.00	5.93	5.85	
Sum	4.00	4.00	3.00	2.99	2.99	4.00	4.00	4.00	4.00	4.00	4.00	4.00	4.00	2.96	3.00	
Mg#	0.65	0.55				0.59	0.62	0.56	0.58	0.60	0.58	0.62	0.75			
Fs	17.73	22.92	1.24	0.68	0.66	21.84	20.23	23.04	21.79	21.65	23.99	23.35	21.29	0.52	0.58	
En	31.89	26.70	0.28	0.21	0.22	30.06	31.02	27.99	28.78	28.81	26.19	27.61	29.09	0.15	0.27	
We	49.69	49.43	98.48	99.12	99.10	48.10	48.75	48.98	49.44	49.54	49.82	49.04	49.63	99.33	99.15	

Note: FeO\* = total FeO.

جدول ۳- ترکیب گارنت در ارنوآمفیولیت ها و قطعات آمفیبولیتی درون اسکارن انیولیت نایین (ایران مرکزی) در مقایسه با گارنت موجود در اسکارن های منطقه، محاسبه اعضای پایانی و فرمول ساختاری آنها بر پایه ۱۱۲ اتم اکسیژن.

Rock type	ارنوآمفیولیت			قطعات آمفیبولیتی درون اسکارن		اسکارن					
	Sample no.	N34	N34	N34	N188	N188	N34	N34	4grt	3grt	
		Point no.	528	532	517	81	82	69	70	4grt	3grt
(wt%)											
SiO <sub>2</sub>		38.72	38.13	37.88	38.07	39.46	39.64	39.47	37.39	39.56	
TiO <sub>2</sub>		0.09	0.09	0.19	1.01	0.55	0.65	0.92	1.47	0.68	
Al <sub>2</sub> O <sub>3</sub>		21.88	21.61	21.48	12.82	18.79	15.85	16.21	13.81	16.31	
Cr <sub>2</sub> O <sub>3</sub>		0.01	0.02	0.03	0.00	0.02	0.00	0.00	0.04	0.04	
FeO <sup>+</sup>		23.69	23.55	24.32	11.85	5.28	8.46	7.49	10.69	8.02	
MnO		1.15	2.95	3.28	0.30	0.28	0.29	0.21	0.15	0.34	
MgO		3.06	2.27	2.95	0.29	0.22	0.31	0.36	0.30	0.16	
CaO		12.13	11.86	10.40	35.33	35.36	34.95	35.06	35.13	35.10	
Na <sub>2</sub> O		0.09	0.03	0.03	0.03	0.02	0.00	0.02	0.02	0.00	
K <sub>2</sub> O		0.00	0.00	0.00	0.00	0.01	0.00	0.03	0.00	0.03	
NiO		0.00	0.00	0.00	0.01	0.00	0.00	0.00	0.00	0.00	

Rock type	ارتوآمفیولیت			قطعات آمفیولیتی درون اسکارن		اسکارن				
	Sample no.		N34	N188	N34		N34			
	Point no.		528	532	517	81	82	69	70	4grt
(wt%)										
<b>Sum</b>	100.82	100.51	100.56	99.71	99.98	100.83	100.34	99.00	100.24	
(a.p.f.u.)										
<b>Si</b>	3.00	2.99	2.97	2.99	3.01	3.05	3.04	2.95	3.04	
<b>Ti</b>	0.01	0.01	0.01	0.06	0.03	0.04	0.05	0.09	0.04	
<b>Al<sup>IV</sup></b>	0.00	0.01	0.03	0.01	0.00	0.00	0.00	0.05	0.00	
<b>Al<sup>VI</sup></b>	2.00	1.99	1.96	1.21	1.71	1.46	1.49	1.26	1.50	
<b>Cr</b>	0.00	0.00	0.00	0.00	0.00	0.00	0.00	0.00	0.00	
<b>Fe<sup>3+</sup></b>	0.00	0.00	0.02	0.63	0.22	0.40	0.36	0.56	0.37	
<b>Fe<sup>2+</sup></b>	1.55	1.54	1.58	0.15	0.11	0.15	0.12	0.14	0.15	
<b>Mn</b>	0.08	0.20	0.22	0.02	0.02	0.02	0.01	0.01	0.02	
<b>Mg</b>	0.35	0.27	0.35	0.03	0.03	0.04	0.04	0.04	0.02	
<b>Ca</b>	1.01	1.00	0.87	2.97	2.89	2.88	2.89	2.97	2.89	
<b>Na</b>	0.01	0.00	0.01	0.00	0.00	0.00	0.00	0.00	0.00	
<b>K</b>	0.00	0.00	0.00	0.00	0.00	0.00	0.00	0.00	0.00	
<b>Ni</b>	0.00	0.00	0.00	0.00	0.00	0.00	0.00	0.00	0.00	
<b>Sum</b>	7.99	8.00	8.01	8.07	8.02	8.02	8.01	8.07	8.02	
<b>End Members (%):</b>										
<b>Almandine</b>	51.88	51.22	51.62	0.00	0.00	0.00	0.00	0.00	0.00	
<b>Andradite</b>	0.00	0.12	1.08	34.76	11.60	21.63	19.74	30.38	19.88	
<b>Grossular</b>	33.72	33.15	28.26	63.25	86.84	76.40	78.23	67.85	78.53	
<b>Pyrope</b>	11.84	8.89	11.62	1.26	0.88	1.28	1.51	1.27	0.65	
<b>Spessartine</b>	2.53	6.56	7.34	0.73	0.64	0.69	0.52	0.36	0.81	
<b>Uvarovite</b>	0.03	0.07	0.08	0.00	0.05	0.00	0.00	0.14	0.13	

Note: FeO\* = total FeO

جدول ۴- مقایسه شیمی پیر، کسن درون اسکارن، قطعات آمفیولیتی درون اسکارن با پیر، کسن درون

ستگهای بازیک ارتوآمفیولیتی اندیولیت نایین (ایران مرکزی).

جدول ۵- مقایسه شیمی پیر و کسن درون اسکارن با ساختاری پیروکسن

ارتوآمفیولیت‌ها	اسکارن و قطعات آمفیولیتی درون اسکارن	نوكیپ شیمیابی (در فرمول ساختاری پیروکسن)
0.06<	<0.06	Al <sup>+++</sup>
<0.03	<0.02	Na
<0.03	<0.02	K
<0.35	0.35<	Fe <sup>+++</sup>
0.64<	<0.63	Mg
0.90-0.97	0.93<	Ca

**گتابنگاری**

ترابی، ق، آرایی، ش، شیردشت زاده، ن، شیراساکا، م، جباری، ع، و ترابی، ح، ۱۳۸۵- بررسی اسکارن‌های موجود در انیولیت ملاتز شمال نایین (استان اصفهان، ایران)، مجله علوم دانشگاه اصفهان، جلد ۲۲، شماره ۱، صص. ۲۲۳ تا ۲۴۰.

ترابی، ق، نوربهشت، ا، شیردشت زاده، ن، پیرنیا، ت، ۱۳۸۶- زمین دماستجی اسکارن‌های موجود در انیولیت ملاتز نایین (استان اصفهان)، مجله بلورشناسی و کائین‌شناسی ایران، شماره ۲، ص. ۳۵۷ تا ۳۸۲.

جباری، ع، ۱۳۷۶- زمین‌شناسی و پترولورزی انیولیت نایین، پایان‌نامه کارشناسی ارشد پترولورزی، دانشگاه اصفهان، ص. ۱۶۳.

سعیدی میته، م، ۱۳۸۶- مطالعه پتروژئوکسیتی های در ستگهای ارتوآمفیولیت شمال نایین (ایران مرکزی)، پایان‌نامه کارشناسی ارشد پترولورزی، دانشگاه اصفهان، ص. ۱۲۰.

شیردشت زاده، ن، ۱۳۸۶- پترولورزی ستگهای دگرگونی انیولیت ملاتز نایین (استان اصفهان)، پایان‌نامه کارشناسی ارشد پترولورزی، دانشگاه اصفهان، ص. ۱۹۲.

شیردشت زاده، ن، ۱۳۹۳- پترولورزی گذازهای بالشی و آمفیولیت‌ها و دگرگونی در پریدوتیت‌های گوشته انیولیت‌های نایین و عшин، رساله دکترای پترولورزی گروه زمین‌شناسی دانشگاه اصفهان، ص. ۳۴۵.

شیردشت زاده، ن، ترابی، ق، صمدی، ر، مایسل، ت، بخاری، س، ن، ح، ۱۳۹۴- ستگنگاری، دمانشار سنگی و ژئوشیمی دایک‌های بیکریتی درده (حاور انیولیت ملاتز نایین)، مجله علوم زمین، سال ۲۵، شماره ۹۸، صص. ۵۴ تا ۶۴.

فلاحی، س، ۱۳۸۶- بررسی های کائین‌شناسی و ستگه‌شناسی رودنگیت‌های مرتبه ایولیت نایین، پایان‌نامه کارشناسی ارشد پترولورزی، دانشگاه اصفهان، ص. ۱۲۹.

**References**

- Berger J., Femenias O., Mercier J. C. C. and Demaiffe D., 2005- Ocean-floor hydrothermal metamorphism in the Limousin ophiolites (western French Massif Central): evidence of a rare preserved Variscan oceanic marker. *Journal of Metamorphic Geology* 23: 795-812.
- D'Antonio, M. and Kristensen, M. B., 2005- Data report: electron microprobe investigation of primary minerals in basalts from the west Philippine Sea Basin (ocean drilling program leg 195, site 1201). In: Shinohara, M., Salisbury, M. H. and Richter, C. (Eds.), *Proceedings of the Ocean Drilling Program: Scientific Results, Volume 195*.
- Davoudzadeh, M., 1972- Geology and petrography of the area north of Nain, Central Iran. *Geological Survey of Iran, Report No. 14*, 89 pp.
- Droop, G. T. R., 1987- A general equation for estimating Fe<sup>3+</sup> concentrations in ferromagnesian silicates and oxides from microprobe analyses, using stoichiometric criteria. *Mineralogy Magazine* 51: 431-435.
- Einaudi, M. T., Meinert, L. D. and Newberry, R. J., 1981- Skarn deposits. *Economic Geology*. 75th Annual, 317-391.
- Ghasemi, A. and Talbot, C. J., 2006- A new tectonic scenario for the Sanandaj-Sirjan Zone (Iran). *Journal of Asian Earth Science* 26(6): 683-693.
- Ghazi, J. M., Moazzen, M. Rahgoshay, M. and Shafaii Moghadam, H., 2010- Mineral chemical composition and geodynamic significance of peridotites from Nain ophiolite, Central Iran. *Journal of Geodynamics* 49: 261-270.
- Ghazi, J. M., Moazzen, M., Rahgoshay, M. and Shafaii Moghadam, H., 2012- Geochemical characteristics of basaltic rocks from the Nain Ophiolite (Central Iran): constraints on mantle wedge source evolution in an oceanic back arc basin and a geodynamics model. *Tectonophysics*, 574-575: 92-104.
- Hawthorne, F. C. and Oberti, R., 2007- Classification of the Amphiboles. *Reviews in Mineralogy and Geochemistry* 67: 55-88.
- Hawthorne, F. C., 1981- Crystal chemistry of the amphiboles. In: Veblen, D. R. (Ed.), *Amphiboles and other hydrous pyroboles-mineralogy*. Review in Mineralogy, Mineralogical Society of America, Washington, D. C., 9A: 1-102.
- Knauth, L. P., 1979- A model for the origin of chert in limestone. *Geology* 7: 274-7.
- Leake, B. S., Woolly, A. R., Arps, C. E. S., Birch, W. D., Gilbert, M. C., Grice, J. D., Hawthorne, F. C., Kato, A., Kisch, H. J., Krivovichev, V. G., Linthout, K., Laird, J., Mandarino, J., Maresch, W. V., Nickel, E. H., Rocks, N. M. S., Schumacher, J. C., Smith, D. C., Stephenson, N. C. N., Ungaretti, L., Whittaker, E. J. W. and Youzhi, G., 1997- Nomenclature of amphiboles. Report of the Subcommittee on Amphiboles of the International Mineralogical Association Commission on new minerals and mineral name. *The Canadian Mineralogist* 35: 219-246.
- Lensch, G. and Davoudzadeh, M., 1982- Ophiolites in Iran. *Neues Jahrbuch für Geologie und Paläontologie - Abhandlungen* 5: 306-320.
- Morimoto, N., 1989- Nomenclature of pyroxenes. *The Canadian Mineralogist* 27: 143-156.
- Putnis, A. and Austrheim, H., 2010- Fluid-induced processes: metasomatism and metamorphism. *Geofluid* 254-269.
- Rezaei, Z., Noghreyan, M. and Khalili, M., 2012- Petrological study of plagiogranites in the Nain ophiolite (Central Iran). *Ophioliti* 37: 93-99.
- Shafaii Moghadam, H., Corfu, F. and Stern, R. J., 2013- U-Pb zircon ages of Late Cretaceous Nain- Dehshir ophiolites, Central Iran. *Journal of the Geological Society of London* 170: 175-184.
- Shirdashtzadeh, N., Kachovich, S., Aitchison, J. C. and Samadi, R., 2015- Mid-Cretaceous radiolarian faunas from the Ashin Ophiolite (western Central-East Iranian Microcontinent). *Cretaceous Research* 56: 110-118.
- Shirdashtzadeh, N., Torabi, G. and Arai, S., 2010- Metamorphism and metasomatism in the Jurassic Nain ophiolitic mélange, Central Iran. *Neues Jahrbuch für Geologie und Paläontologie* 255(3): 255-275.
- Shirdashtzadeh, N., Torabi, G. and Arai, S., 2011- Two Mesozoic oceanic phases recorded in the basic and metabasic rocks of the Nain and Ashin-Zavar ophiolitic mélanges (Isfahan Province, Central Iran). *Ophioliti* 36(2): 191-205.
- Shirdashtzadeh, N., Torabi, G., Meisel, T. C., Arai, S., Bokhari, S. N. H., Samadi, R. and Gazel, E., 2014- Origin and evolution of metamorphosed mantle peridotites of Darreh Deh (Nain Ophiolite, Central Iran): Implications for the Eastern Neo-Tethys evolution. *Neues Jahrbuch für Geologie und Paläontologie-Abhandlungen* 273(1): 89-120.
- Torabi, G., Shirdashtzadeh, N., Arai, S. and Koepke, J., 2011- Paleozoic and Mesozoic ophiolites of Central Iran: Study of amphibolites from Naein, Ashin, Jandaq and Posht-e-Badam ophiolites. *Neues Jahrbuch für Geologie und Paläontologie - Abhandlungen* 262(2): 227-240.
- Whitney, D. L. and Evans, B. W., 2010- Abbreviations for names of rock-forming minerals. *American Mineralogist* 95: 185-187.
- Winter, C., 2001- An Introduction to Igneous and Metamorphic Petrology. Prentice Hall, 697 pp.

## Petrography and mineral chemistry of amphibolitic fragments in the south of Nain Ophiolite skarns, Central Iran

N. Shirdashtzadeh<sup>1\*</sup>, G. Torabi<sup>2</sup> and R. Samadi<sup>3</sup>

<sup>1</sup>Post-Doctoral Researcher Fellow, Department of Geology, Faculty of Science, University of Isfahan, Isfahan, Iran

<sup>2</sup>Professor, Department of Geology, Faculty of Science, University of Isfahan, Isfahan, Iran

<sup>3</sup>Assistant Professor, Department of Geology, Mashhad Branch, Islamic Azad University, Mashhad, Iran

Received: 2015 October 11

Accepted: 2016 July 04

### Abstract

Some dark green fragments of amphibolites are found within skarns at the south of Nain Ophiolite at the northeast of Nain city. They are similar to ortho-amphibolites (metamorphosed basic rocks) of this ophiolite in hand specimen, but mineralogically they are composed of amphibole (magnesio-hornblende, Mg#>0.95), clinopyroxene (diopside, Mg#~0.61), garnet (grossular – andradite, with Grs<sub>43-87</sub> And<sub>11-53</sub>), quartz, and minor amount of calcite and wollastonite. Accessory minerals are including chlorite and prehnite, mostly filling the fractures. Field studies, petrography and mineral chemistry indicate that amphibolitic fragments mineralogically differ from the skarns and ortho-amphibolites of this ophiolite; so they can be considered as olistoliths with sedimentary origin (calcic marls of sea floor), turned into amphibolitic rocks (para-amphibolite) during the regional metamorphism at amphibolite - granulite facies and low oxygen fugacity.

**Keywords:** Mineralogy, Amphibolite, Skarn, Ophiolite, Nain.

For Persian Version see pages 153 to 164

\*Corresponding author: N. Shirdashtzadeh; E-mail: nshirdasht@gmail.com